

M-221

ОБЪЕДИНЕНИЙ ИНСТИТУТ ЯДЕРНЫХ ИССЛЕДОВАНИЙ  
ЛАБОРАТОРИЯ ЯДЕРНЫХ ПРОБЛЕМ

1 - 8498

МАМЕДОВ  
Таир Наги оглы

СПЕКТРЫ НЕЙТРОНОВ ИЗ РЕАКЦИИ МЮ-ЗАХВАТА  
И ФОТОВОЗБУЖДЕНИЯ В ТЯЖЕЛЫХ ЯДРАХ

Специальность 01.04.01 - экспериментальная физика

Автореферат диссертации на соискание ученой степени  
кандидата физико-математических наук

(Диссертация написана на русском языке)

Дубна 1974

Работа выполнена в Лаборатории ядерных проблем  
Объединенного института ядерных исследований.

Научный руководитель: кандидат физико-математических  
наук В.С.Евсеев.

Официальные оппоненты:

доктор физико-математических наук Д.Ф.Зарецкий,  
доктор физико-математических наук А.О.Вайсенберг.

Ведущее научно-исследовательское учреждение:

Научно-исследовательский институт ядерной физики при  
Московском государственном университете им. М.В.Ломоносова

Автореферат разослан " " 1975 г.

Защита диссертации состоится " " 1975 г.  
в час. на заседании Ученого совета Лаборатории  
ядерных проблем Объединенного института ядерных иссле-  
дований, г. Дубна, Московской области, Лаборатория  
ядерных проблем ОИЯИ, конференц-зал.

С диссертацией можно ознакомиться в библиотеке ОИЯИ.

Ученый секретарь Совета  
кандидат физико-математических наук

Ю.А. Батусов

1 - 8498

МАМЕДОВ  
Таир Наги оглы

## СПЕКТРЫ НЕЙТРОНОВ ИЗ РЕАКЦИИ МЮ-ЗАХВАТА И ФОТОВОЗБУЖДЕНИЯ В ТЯЖЕЛЫХ ЯДРАХ

Специальность 01.04.01 - экспериментальная физика

Автореферат диссертации на соискание ученой степени  
кандидата физико-математических наук

(Диссертация написана на русском языке)

Объединенный институт  
ядерных исследований  
БИБЛИОТЕКА

В настоящее время установлено, что квазистационарные коллективные состояния ядра возбуждаются не только при фотопоглощении, но также в целом ряде других реакций, как, например, при поглощении отрицательных мю-мезонов ядрами, радиационном  $\pi^-$ -захвате и т.д.

Теория коллективного возбуждения ядра при мю-захвате была сформулирована в работах /1,2/. Авторам /1,2/ удалось вычислить значения вероятности мю-захвата в легких ядрах, которые хорошо согласовались с экспериментальными данными. В работе /2/ была установлена количественная связь между вероятностью захвата мю-мезонов ядрами и сечением гигантского дипольного резонанса при фотопоглощении. Другой успех теории коллективного возбуждения ядра при мю-захвате состоит в том, что линейчатая структура спектров нейтронов из мю-захвата в легких ядрах, предсказанная на ее основе с учетом резонансного механизма испускания нейтронов /1/, подтвердилась экспериментальными исследованиями /3/. Линейчатая структура обнаружена и в спектрах фотонейтронов из легких ядер. Исследования спектров нейтронов из мю-захвата в свинце или же в ядрах, отличающихся от ядер свинца зарядом на одну единицу, показали, что в случае тяжелых ядер линейчатая структура не обнаруживается и спектры становятся похожими на испарительные.

Настоящая диссертация посвящена систематическому изучению спектров нейтронов из реакции мю-захвата и фотопоглощения в тяжелых ядрах с целью исследования механизма распада квазистационарных состояний. Результаты исследований были

опубликованы в статьях и препринтах /4-8/, докладывались на Международной конференции по физике высоких энергий и структуре ядра в Уппсала (Швеция, 1973 г.), на Международной конференции по фотоядерным реакциям в Асиламоре (США, 1973 г.) и на сессиях отделения ядерной физики АН СССР в 1973 и 1974 гг.

Диссертация состоит из введения и четырех глав.

Во Введении кратко изложены основные достижения теоретических и экспериментальных исследований процесса ядерного мю-захвата и фотовозбуждения ядер. Сформулирована задача диссертации.

Первая глава представляет собой обзор литературных данных по исследованию спектров и множественности нейтронов из реакции мю-захвата и спектров нейтронов, возникающих при фотовозбуждении ядер. Показано последовательное развитие идеи коллективных возбуждений при фотопоглощении и в ядерном мю-захвате. Приведены результаты исследований выхода заряженных частиц и основные выводы работ по асимметрии нейтронов из реакции мю-захвата.

Вторая глава посвящена описанию методической части работы: обоснованию выбора детектора нейтронов, исследованию его основных характеристик, способу обработки аппаратурных спектров и методике определения абсолютного выхода нейтронов из реакции мю-захвата. Характеристики детектора нейтронов определялись с помощью монохроматических нейтронов с энергией  $E_n \approx 3,1$  МэВ и  $E_n \approx 14,1$  МэВ, источника нейтронов Рo-Be и спектрометрических источников  $\gamma$ -квантов  $^{22}N_{a}$ ,  $^{24}N_{a}$ ,  $^{56}M_{n}$ ,  $^{88}Y$  и  $^{137}Cs$ . Приводятся основные параметры

детектора нейтронов, полученные на базе этих исследований. Экспериментально, путем определения потока нейтронов, падающих на детектор, при исследовании с монохроматическими нейтронами было получено значение эффективности регистрации нейтронов при энергии  $E_n \approx 3,1$  МэВ.

В третьей главе описаны блок-схема установки электроники, условия проведения экспериментов при измерении спектров нейтронов и при измерении выхода нейтронов из реакции мю-захвата. Расположение аппаратуры на пучке  $\mu^-$ -мезонов и  $\gamma$ -квантов представлено на рис. I и 2 соответственно. Счетчики 1,2,3 и 4 из пластических сцинтилляторов служат для определения события остановки мю-мезонов в мишени, и сигнал о событии остановки, который определялся совпадением I234, управляем регистрацией импульсов из детектора нейтронов (NE-213). При измерении спектров фотонейтронов (на рис. 2) детектор нейтронов и мишень располагались в специальном помещении, построенном из парафиновых блоков толщиной 80 см, пучок  $\gamma$ -квантов выводился в экспериментальный зал через отверстие в бетонной стене толщиной 1 м. Ионизационная камера, расположенная за мишенью, служила для контроля потока  $\gamma$ -квантов. В этой же главе представлены результаты измерений и спектры нейтронов, полученные путем дифференцирования спектров прононов отдачи.

В четвертой главе обсуждаются полученные результаты и сравниваются с имеющимися литературными данными, сформулированы основные результаты и выводы диссертации.

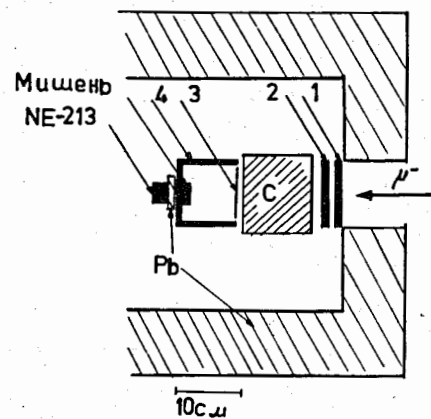


Рис. 1. Расположение аппаратуры на мезонном пучке.

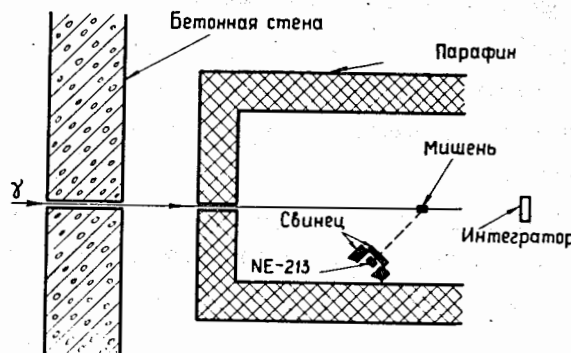


Рис. 2. Расположение аппаратуры на пучке  $\gamma$ -квантов.

#### Выход нейтронов из реакции мю-захвата

в ядрах  $O(H_2O)$ ,  $S$ ,  $Ca$  и  $Pb$

Измеренные выходы нейтронов на акт захвата мю-мезона в ядрах  $O$ ,  $S$ ,  $Ca$  и  $Pb$  представлены в таблице I /4/, где они сравниваются с теоретическими и другими экспериментальными данными.

В третьем столбце представлены данные, полученные после построения энергетического спектра в абсолютных единицах по известным значениям выхода нейтронов в некотором его участке, указанном во втором столбце таблицы. В случае свинца спектр был экстраполирован в область малых энергий. Эти значения выхода нейтронов хорошо согласуются с ранее полученными (см. четвертый столбец таблицы) другим методом, в котором нейтронный детектор не имел порога регистрации по энергии /9/.

Для сравнения с теоретическими расчетами по модели коллективных возбуждений наиболее подходящим является ядро  $^{16}O$ , где резонансный механизм испускания нейтронов является преобладающим. Расчетные значения выхода нейтронов /1/ представлены в пятом столбце. В случае  $^{16}O$  наблюдается согласие с нашими данными. В случае  $Ca$  из теоретических расчетов приведен выход нейтронов во всем энергетическом интервале, хорошо согласующийся с данными работы /9/. В последнем столбце приведен выход нейтронов для  $^{16}O$ , позднее измеренный другими авторами, который согласуется с нашими данными (в интервале 7,5 – 18 МэВ выход нейтронов для  $^{16}O$

Т а б л и ц а I

Выход нейтронов из реакции мю-захвата в  $\text{C}$ ,  $\text{S}$ ,  $\text{Ca}$  и  $\text{Pb}$   
 (на один акт мю-захвата) в интервале энергии нейтронов  $\Delta E_n$  (МэВ)

I	2	3	4	5	6
0 $\Delta E_n$	$0,526 \pm 0,068$ (2,5-7,5)			$0,68$ (2,5-7,5)	$0,54 \pm 0,12$ (2 - 18,2)
S $\Delta E_n$	$0,414 \pm 0,035$ (1,5 - 10)	$0,447 \pm 0,046$ (1,5-12,75)			
Ca $\Delta E_n$	$0,263 \pm 0,033$ (2 - 10)	$0,296 \pm 0,042$ (2 - 13)	$0,706 \pm 0,10$	$0,706$	
Pb $\Delta E_n$	$0,536 \pm 0,031$ (2 - 7)	$1,77$ (0 - 10)	$1,636 \pm 0,343$ $1,709 \pm 0,066$		

незначителен). Эти исследования показывают, что теория кол-лективного возбуждения при ядерном мю-захвате не только пра-вильно описывает форму спектра, но также дает величину або-лютного выхода нейтронов при мю-захвате, удовлетворительно соглашающуюся с экспериментальными данными.

#### Энергия возбуждения ядер при мю-захвате

В четвертой главе на основе ранее измеренных значений выходов нейтронов определена средняя энергия возбуждения ядер при мю-захвате, что является важным как при вычислении спектров частиц, испускаемых возбужденным ядром, так и при вычислении вероятности захвата мю-мезонов ядрами. На рис. 3 значения средней энергии возбуждения ядра, вычисленные нами, сравниваются с данными, полученными на основе значений веро-ятности мю-захвата /10/. Учитывая, что точность последних вычислений не лучше 20%, следует полагать, что эти данные хорошо согласуются друг с другом. Как видно из рисунка, средняя энергия возбуждения ядра в широком диапазоне массо-вого числа ядра  $A$  в пределах ошибки не меняется (в отли-чие от случая фотовозбуждения), что обусловлено увеличением вклада монопольных и дипольных переходов с увеличением  $A$ .

#### Спектры нейтронов из реакции мю-захвата

#### в $\bar{J}$ и $\bar{\Lambda}$ и фотовозбуждения в $Ta$ , $Pb$ , $Bi$ и $Th$

На рис. 4,5 в качестве примера представлены спектры нейтронов из реакции мю-захвата и фотовозбуждения в  $Th$  /5,8/.

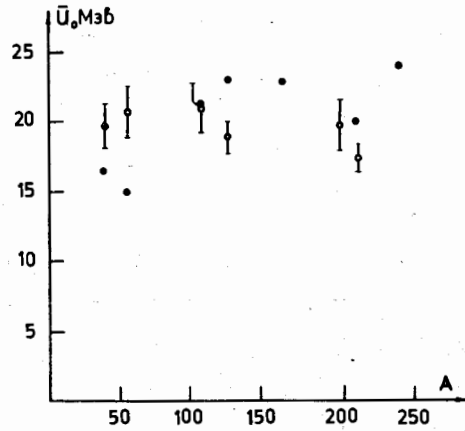


Рис. 3. Зависимость средней энергии возбуждения ядра при мю-захвате от  $A$ .  $\square$  - данные, полученные нами на основе выхода нейтронов,  $\bullet$  - из расчетов по вероятности захвата мю-мезонов ядрами <sup>10</sup>.

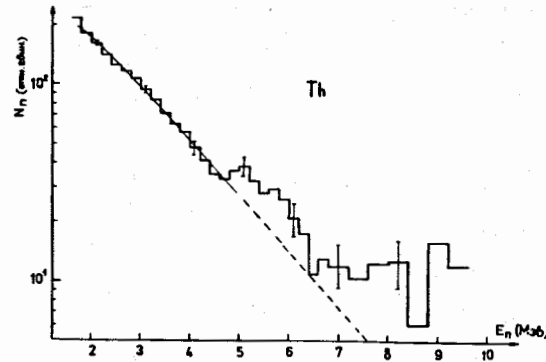


Рис.4. Энергетический спектр нейтронов из реакции мю-захвата в тории <sup>5</sup>.

10

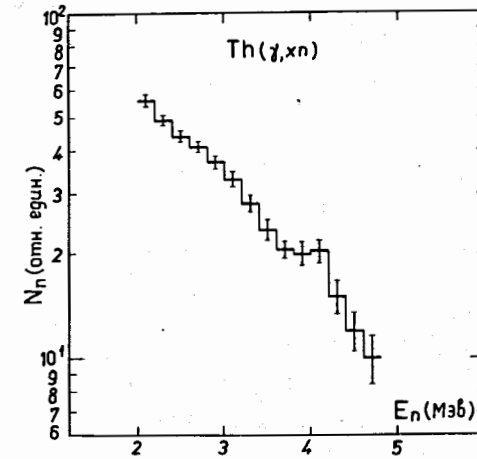


Рис. 5. Энергетический спектр фотонейтронов из Th при облучении  $\gamma$ -квантами тормозного излучения ( $E_{\gamma}^{\max} = 31$  (МэВ)).

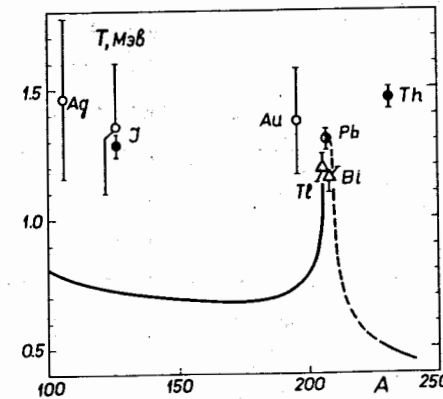


Рис. 6. Зависимость температуры ядра от  $A$ . Кривая - усредненные экспериментальные данные по  $(\bar{p}, p')$  реакции <sup>II</sup>; точки - данные по мю-захвату;  $\square$  - из работы <sup>12</sup>;  $\square$  - наши данные <sup>5</sup>;  $\triangle$  - данные из работы <sup>13</sup>;  $\diamond$  - усредненные по данным <sup>3, 13</sup>.

11

Как и в ранних исследованиях, линейчатой структуры в спектрах не обнаруживается, в то время как ее наличие было бы непосредственным доказательством резонансного механизма испускания нейтронов из квазисвязанных возбужденных состояний ядер в случае больших  $A$  (или  $Z$ ).

Полученные нами спектры нейтронов можно сравнить с предсказаниями статистической теории. С этой целью спектры нейтронов в области  $E_n \leq 5$  МэВ аппроксимировали по статистической теории и из этих спектров получали значение температуры ядра  $T$ . Аппроксимация проводилась по методу наименьших квадратов с использованием стандартной программы FUMILI (ОИЯИ) на ЭВМ. Обработка показала, что форма низкоэнергетической части спектров нейтронов формально хорошо описывается моделью "испарения". Но при этом полученные значения температуры ядра сильно расходятся с аналогичными данными исследования других реакций, заведомо описываемых этой моделью.

На рис. 6 приводятся значения температуры ядра, полученные на основе спектров нейтронов из реакции  $\mu\text{-захвата}$ , и сравниваются со значением  $T$ , полученным из  $(n, n')$ . Как видно, сильное расхождение обнаруживается для ядер, отличающихся зарядом на 5-10 единиц от дважды магического ядра свинца.

На рис. 7 представлена зависимость параметра плотности ядерных уровней  $a$  от  $A$ , полученная на основе измеренных спектров нейтронов и средней энергии возбуждения ядра при  $\mu\text{-захвате}$  и фотовозбуждении. Данные по  $\mu\text{-захвату}$  и фото-

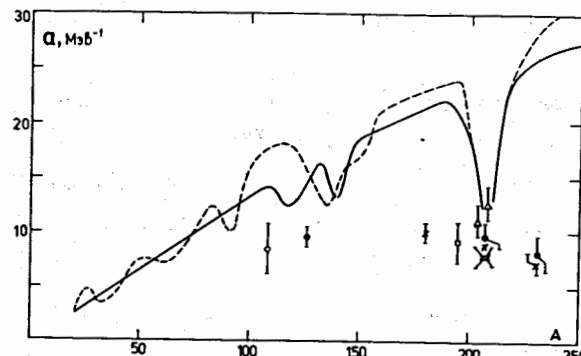


Рис. 7. Зависимость параметра плотности ядерных уровней от  $A$ .

Кривые — теоретические /14/ (обозначения данных по  $\mu\text{-захвату}$  см. на рис. 6.),  $\ddagger$  — наши данные по спектрам фотонейтронов /8/,  $\times$  — данные, полученные по значению  $T$  для фотонейтронов из работы /16/.

возбуждению в пределах ошибки хорошо согласуются между собой, но сильно расходятся с предсказаниями статистической теории /14/ (на рисунке соответствует двум кривым). Следует отметить, что экспериментальные значения параметра  $\alpha$  из реакции  $(\bar{n}, n')$ , полученные таким же способом, как и в нашей работе, хорошо согласуются с предсказаниями статистической теории и в области дважды магического ядра свинца имеют выделенную особенность. Как было показано /15/, наблюдаемая особенность в области свинца, обусловленная оболочечными эффектами, должна быть существенной до энергии возбуждения 40–45 МэВ.

Сильное расхождение значения параметра плотности ядерных уровней по мю-захвату и фотовозбуждению с предсказаниями статистической теории и отсутствие изменений значений параметра плотности ядерных уровней  $\alpha$  в области свинца показывает, что даже в самых тяжелых ядрах распад квазистационарных состояний, возбуждаемых в этих процессах, не описывается статистической теорией.

Согласие данных по мю-захвату и фотовозбуждению еще раз подтверждает глубокую аналогию между этими реакциями.

#### Деление $^{239}\text{Pu}$ мюонами

В таких тяжелых мезоатомах, как  $^{239}\text{Pu}$ , при каскадных переходах в  $1S$ -состояние, кроме оже- и радиационных переходов, с определенной вероятностью возможны и безрадиационные переходы /17/. При этом освободившаяся энергия не-

посредственно передается ядру, приводя к его возбуждению. В случае  $^{239}\text{Pu}$  энергия, соответствующая  $2p \rightarrow 1S$  – переходу, такова, что может вызывать деление или испускание частиц из ядра. Поэтому зарегистрированные нами нейтроны в интервале энергии 2,6 – 8,6 МэВ, вклад которых на одну остановку мезона равен  $\Delta\Omega = 1,15 \pm 0,11$  /7/, необходимо разделить на мгновенные и задержанные. Мгновенные нейтроны обусловлены делением  $^{239}\text{Pu}$  при безрадиационном возбуждении ядра, а задержанные – процессом ядерного мю-захвата.

На основе значения  $\Delta\Omega$  и отношения количества мгновенных и задержанных нейтронов определены их вклады в отдельности:  $\Delta\Omega_{\text{мг.}} = 0,16 \pm 0,03$ ;  $\Delta\Omega_{\text{зад.}} = 0,99 \pm 0,12$ .

Путем сравнения  $\Delta\Omega_{\text{мг.}}$  с выходом нейтронов при делении  $^{238}\text{Pu}$  тепловыми нейтронами получен верхний предел для вероятности безрадиационного деления  $^{239}\text{Pu}$  на один остановившийся мезон:  $0,21 \pm 0,04$ , а также верхний предел вероятности деления  $^{239}\text{Np}$  в случае мю-захвата плутонием при двух крайних предположениях о вероятности реэмиссии мю-мезонов после мгновенного деления ядра, вызываемого безрадиационными мезостоиниями переходами:  $0,74 \pm 0,18$  и  $0,94 \pm 0,23$ .

Показано, что пределы, определенные для вероятности деления  $^{239}\text{Np}$  ( $W_{\text{зад.дел.}}$ ) при мю-захвате в  $^{239}\text{Pu}$ , не противоречат известному отношению  $\Gamma_n/\Gamma_f$  для изотопов  $\text{Np}$ .

Спектры нейтронов из мю-захвата в  $^{239}\text{Pu}$  по форме хорошо представляются функцией, которая обычно используется для описания спектра нейтронов деления, и значение параметра  $T_{\text{дел.}}$  не противоречит другим данным.

### Основные результаты

1. Измерены спектры нейтронов из реакции мю-захвата в  $J = 1/2$  и  $T_h$  в интервале энергии  $1,6 \leq E \leq 9,6$  МэВ.
2. На основе ранее измеренных выходов нейтронов на акт мю-захвата определены значения средней энергии возбуждения промежуточного ядра при мю-захвате, хорошо согласующиеся со значениями, полученными на основе данных по вероятности мю-захвата.
3. Сравнение полученных значений параметра плотности ядерных уровней с предсказаниями статистической теории ядерных реакций показывает, что эта теория не описывает распада коллективных состояний, возбуждаемых в мю-захвате.
4. Измерен спектр фотонейтронов из  $T_{\alpha}$ ,  $P_B$ ,  $B_1$  и  $T_h$  при возбуждении ядер  $\gamma$ -квантами тормозного излучения с максимальной энергией  $E_{\gamma}^{max} = 31$  МэВ.
5. Как и в случае мю-захвата, сравнение полученных значений с предсказаниями статистической теории показывает, что она также не описывает распада коллективных состояний типа гигантского дипольного резонанса, возбуждаемых при фотопоглощении.
6. Данные, полученные по спектрам нейтронов из реакции мю-захвата и фотовозбуждения ядер, показывают, что механизмы распада состояний, возбуждаемых в этих процессах, сходны и эти состояния до распада не диссирируют в состояния компаунд-ядра.
7. Измерен абсолютный выход нейтронов на акт мю-захвата в кислороде в интервале энергии от 2,5 до 7,5 МэВ,  $\bar{\Pi} =$

- $0,52 \pm 0,068$ ; сере - от 1,5 до 10 МэВ,  $\bar{\Pi} = 0,414 \pm 0,035$ ; кальци - от 2 до 10 МэВ,  $\bar{\Pi} = 0,265 \pm 0,033$ ; свинце - от 2 до 7 МэВ,  $\bar{\Pi} = 0,536 \pm 0,031$ .
8. Измеренные абсолютные выходы нейтронов при мю-захвате в сере, кальци и свинце позволили сопоставить данные работ /3/ и /18/ по спектрам; установлено, что эти данные в области перекрыва-ния согласуются в пределах ошибки.
  9. В случае мю-захвата в кислороде имеется количественное согла-сие между полученным значением выхода нейтронов и предоказа-нием резонансной модели. На основе измеренного нами выхода ней-тронов авторам работы /3/ удалось оценить интенсивность каждой линии, наблюданной в спектре нейтронов из мю-захвата в кисло-роде, что также согласуется с теоретическими предсказаниями.
  10. Измерен спектр нейтронов из мю-захвата в  $^{239}\text{Pu}$  в интервале 2,4 - 10 МэВ. Определен абсолютный выход нейтронов на один акт остановки мю-мезона /мгновенные + захватные/ в интервале 2,6 - 8,6 МэВ,  $\Delta \Pi = 1,15 \pm 0,11$ .
  11. Определен верхний предел вероятности мгновенного деления, обу-словленного атомными безрадиационными переходами мю-мезона, на один остановившийся мезон:  $W_{\text{бр.дел.}} = 0,21 \pm 0,04$ , и верхний предел вероятности задержанного деления на акт мю-захвата в плутонии при двух крайних предположениях о вероятности реэмис-сии мю-мезонов после мгновенного деления  $^{239}\text{Pu}$ :  $0,74 \pm 0,18$  и  $0,94 \pm 0,23$ .

## Литература

1. V.V.Balashov, V.B.Beliaev, R.A.Kramjian, N.M.Kabachnik. Phys.Lett., 2, 168 /1964/.
2. L.L.Foldy, J.D.Walecka. Nuovo Cimento, 24, 1026 /1964/.
3. И.Войтковска, В.С.Евсеев и др. Препринт ОИЯИ, Д15-4088, Дубна /1968/; Phys.Lett., 28B, 553 /1969/; Препринт ОИЯИ, Р1-6051, Дубна /1971/; ЯФ 15, 1154 /1972/; M.E.Plett, S.E.Sobottka. Phys.Rev., C3, 1003 /1971/.
4. И.Войтковска, В.С.Евсеев, Т.Козловски, Т.Н.Мамедов, В.С.Роганов. Препринт ОИЯИ, Р15-5524, Дубна /1970/; ЯФ 14, 624 /1971/.
5. В.С.Евсеев, Т.Н.Мамедов. Препринт ОИЯИ, Р1-7115, Дубна /1973/; ЯФ 18, 968 /1973/; in Proceedings of the Fifth International Conf. on High Energy Physics and Nuclear Structure, Uppsala, Sweden, June 18 - 23, 1973, p. 308.
6. V.S.Evseev, T.Kozlovski, T.N.Mamedov, V.S.Roganov, Z.Sujkowski, J.Wojtkowska and A.Zglinecki. Int. Conf. on Photonuclear Reactions and Applications, Asilomar, USA, March 26 - 30, 1973, p. 5D4.
7. В.С.Евсеев, Т.Н.Мамедов. Препринт ОИЯИ, Р1-7443, Дубна /1973/; ЯФ 19, 1222 /1974/.
8. В.С.Евсеев, Т.Н.Мамедов, О.В.Семогин. Препринт ОИЯИ, Р1-7962, Дубна /1974/.
9. B.MacDonald et al. Phys.Rev., 139, B1253 /1965/.
10. P.Cristillin et al., Phys.Rev.Lett., 31, 1012 /1973/.
11. О.А.Сальников и др. ЯФ 4, 1154 /1966/; Изв.АН СССР, сер. физ., 32, 653 /1968/. / см. также А.В.Малышев. ЖЭТФ 45, 316 /1963//.
12. D.E.Hagge. California Univ. Report, UCRL-10516 /1963/.
13. U.Jahnke et al. Helv. Phys.Acta. 45, 49 /1973/.
14. D.W.Lang. Nucl.Phys., 26, 434 /1961/; /см. также 15/.
15. J.R.Huisenga and L.G.Moretto. Univ. of Calif. Prepr. LBL-662 /1972/.
16. F.T.Kushnir et al. Phys.Rev., 161, 1236 /1967/.
17. D.F.Zaretski. Int.Conf. on Peaceful uses of atomic Energy, vol.15, p.175 /1958/.
18. M.H.Krieger, Ph. D. Thesis Colombia University, 1969.

Рукопись поступила в издательский отдел  
30 декабря 1974 года.